

IRANIAN SOCIETY of  
CRYSTALLOGRAPHY  
and MINERALOGY

Vol. 17, No. 2, Summer 1388/2009

IRANIAN JOURNAL of  
CRYSTALLOGRAPHY  
and MINERALOGY

## Geochemical and petrographic study of common minerals in the Taftan volcanic Rocks

H. Biabangard<sup>1</sup>, A. Moradian<sup>2</sup>

1- Department of Geology, Sistan and Baluchestan University, Zahedan, Iran

2- Department of Geology, Shahid Bahonar University of Kerman, Iran

Email:h.biabangard@yahoo.com

(Received: 23/6/2008, in revised form: 20/12/2008)

**Abstract:** Taftan volcano, is located in about 100 Km South to Southeast of Zahedan, Sistan and Baluchestan province in southeast of Iran. On geological point of view, it is located at the end of Nehbandan-Khash flysch and North Makran structural zones. Field, petrographic and geochemical studies from different samples of rocks show that the volcano mostly composed of andesitic and dacitic rocks. These rocks have no variety in mineralogy and mainly composed of plagioclase, biotite, hornblende and pyroxene minerals. Microanalyses on these minerals show that plagioclases are common minerals with reversal, oscillatory and normal zoning and are andesine to labradorite in chemical composition. Plagioclases have 57.2 to 60.2 wt% Silica contents in composition. These mineral shows variation in composition from the core to rim that is correlative with the microscopic evidence and may be resulted by changes in magma composition accompanied with pressure changes during the ascent of magma, magma mixing and variation in water pressure in magma. Structural formulate indicate that amphiboles, micas and pyroxenes minerals are magnesiohornblende, biotite, diopside and hypersthene composition, respectively.

**Keywords:** *Taftan, Sistan and Baluchestan, Makran, Microanalyses.*



## بررسی سنگ‌شناختی و ژئوشیمیائی کانی‌های اصلی سازنده سنگ‌های آتشفسانی تفتان

حبيب الله بیابان گرد<sup>۱</sup>، عباس مرادیان<sup>۲</sup>

۱- دانشگاه سیستان و بلوچستان، دانشکده علوم، گروه زمین‌شناسی.

۲- دانشگاه شهید باهنر کرمان، دانشکده علوم، گروه زمین‌شناسی.

پست الکترونیکی: h.biabangard@yahoo.com

(دریافت مقاله: ۸۷/۶/۲۷ ، نسخه نهایی: ۸۷/۹/۳۰)

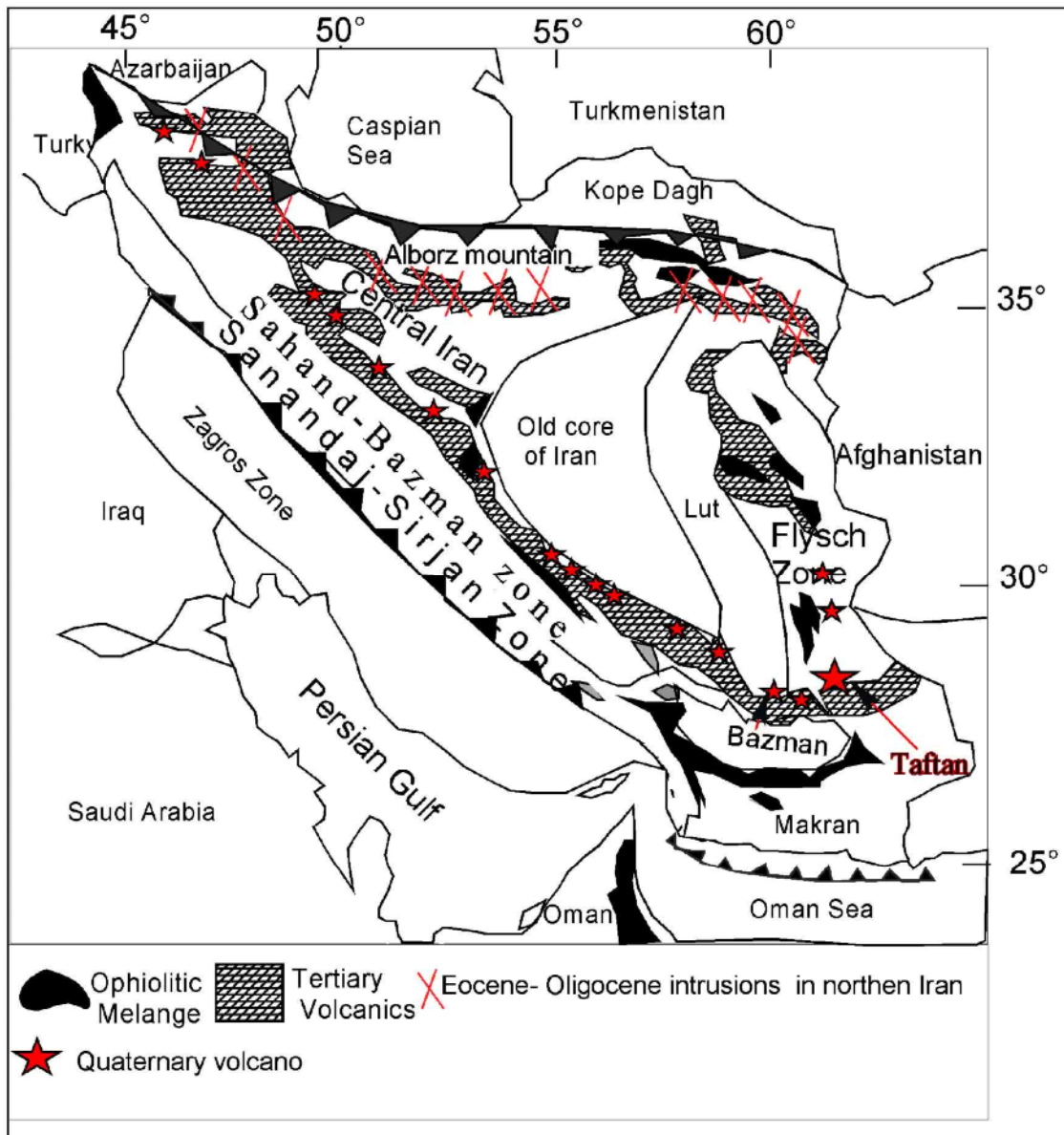
**چکیده:** کوه آتشفسان تفتان در جنوب خاوری ایران، استان سیستان و بلوچستان، و به فاصله حدود یکصد کیلومتری جنوب و جنوب خاوری شهر زاهدان قرار دارد. از دیدگاه زمین‌شناسی این آتشفسان در انتهای زون ساختاری فلیش نهیندان - خاش و شمال زون مکران واقع شده است. بررسی‌های صحرایی، سنگ‌شناختی، و ژئوشیمیائی نشان می‌دهد که سنگ‌های این آتشفسان اغلب دارای ترکیب آندزیتی تا داسیتی‌اند. سنگ‌های این آتشفسان تنوع کانی‌ای زیادی ندارد و معمولاً از کانی‌های اصلی پلازیوکلاز، کوارتز، بیوتیت، هورنبلند، و پیروکسن تشکیل شده‌اند. ریزپردازهای انجام شده روی کانی‌های این سنگ‌ها نشان می‌دهد که پلازیوکلازها فراوان، اغلب دارای منطقه‌بندی وارون، نرمال و نوسانی بوده و گستره ترکیبی آن‌ها از آندزین تا لابرادوریت است. مقادیر اکسید سیلیسیم آن‌ها معمولاً از ۵۷/۲ تا ۶۰/۲ درصد وزنی متغیر است. تغییرات ترکیبی پلازیوکلازها از مرکز تا حاشیه کاملاً مشهود و مطابق با شواهد میکروسکوپی آن‌ها بوده که احتمالاً حاصل عواملی چون تغییر ترکیب شیمیایی مانگما توان با تغییرات فشار، اختلاط ماقمایی و تغییرات فشار بخار آب در این آتشفسان است. فرمول ساختاری آمفیبول‌ها، میکاها و پیروکسن‌های موجود در سنگ‌های این آتشفسان نشان می‌دهد که ترکیب آن‌ها غالباً بترتیب هورنبلندمنیزیم‌دار، بیوتیت، هیپرستن، و دیوپسید است.

**واژه‌های کلیدی:** تفتان، سیستان و بلوچستان، مکران، ریزپردازش.

توبوگرافی، نپهای افیولیتی و تنهنشستهای مجموعه گوههای افزایشی این کمربند توسط [۸-۳] بیانی از فعال بودن این زون به ویژه در زمان کرتاسه به بعد است. بررسی‌های سنگ‌شناختی ارزنده‌ای توسط [۱۱-۹] بر روی آتشفسان تفتان انجام شده است، ولی سنگ‌های آتشفسانی تفتان دارای سرشتی آهکی-قلیایی با ترکیب آندزیتی تا داسیتی‌اند. کانی‌های اصلی سازنده این سنگ‌ها عبارتند از پلازیوکلاز، کوارتز، بیوتیت، هورنبلند، و پیروکسن، که دارای سرشتی‌ها و ویژگی‌های خاصی بوده که ما را برآن داشت تا ریزپردازی‌های بر روی آن‌ها به شرح زیر انجام دهیم.

### مقدمه

ایران دارای فعالیت‌های گسترده آتشفسانی در طول زمان بوده است که از جمله آن‌ها فعالیت‌های آتشفسانی کرتاسه تا کواترنری است که از ترکیه تا بلوجستان پاکستان ادامه دارد [۱] و سبب تشکیل آتشفسان‌های جوان کواترنری چون آرارات در ترکیه (هم مرز ایران در شمال باختری)، سهند، سبلان، دماوند، بزمان، تفتان در ایران، و کوه سلطان در پاکستان (هم-مرز ایران در جنوب خاوری) شده‌اند. در تقسیم‌بندی [۲] آتشفسان تفتان در کمربند فعال زمین‌ساختی مکران قرار می‌گیرد (شکل ۱). بررسی‌های گسترده انجام شده روی



شکل ۱ موقعیت زون‌های ساختاری مهم ایران همراه با گسترش توده‌های نفوذی، خروجی و موقعیت آتشفسنی تفتان [اقتباس از ۳۰۲]

چهل تن، زیارت، مادر کوه، و نرکوه است. قله چهل تن (تفتان فعلی) در مجموع دارای پنج دهانه است که از دو دهانه آن بخار و گازهای گوگردی پیوسته در فوران است. ساختار اصلی آتشفسنی تفتان شامل دو کوه (نرکوه و مادرکوه) است که با بخش زین مانند باریک به هم پیوند خورده‌اند. قله جنوب خاوری تا اندازه‌ای شکل مخروطی خود را حفظ کرده و به

#### ریخت‌شناسی آتشفسنی تفتان

تفتان یک آتشفسنی مرکب لایه‌ای (استراتو ولکان) است. ارتفاع تقریبی آن ۴۰۵۰ متر از تراز دریا و ۲۰۰۰ متر از زمین پیرامون است، و مساحتی در حدود  $1300 \text{ km}^2$  را می‌پوشاند. بهترین راه دسترسی به این آتشفسنی مسیر جاده آسفالتی زاهدان-خاش است. این آتشفسنی دارای قله‌های متعددی بنام‌های

چشمehای آب گرم پیرامون، بیانی از جوان بودن آن است (شکل ۲).

وسیله جریان گدازه‌ای ضخیم و جوان پوشیده شده است. خروج گازهای فومولی [فوران گازها] از دهانه این آتشفشار و



شکل ۲ دورنمایی از ریخت شناسی کوه آتشفشاری تفتان (مادرکوه و نرکوه).

های مختلف زرد، سرخ، کرم، و روشن دنبال می‌شود و به دلیل دگرسانی فراورده‌های آتشفشاری تفتان تشخیص این واحدها از مجموعه‌های گدازه‌ای و آذرآواری چندان آسان نیست. ولی آنچه مشخص است حجم بیشتر این واحدها را توفهای دگرسان اسیدی تا حد واسطه با دگرسانی بیشتر آرژیلیکی تشکیل می‌دهند (واحد  $Q_2$ ). به دنبال واحدهای اخیر سنگ‌های آذرآواری با پراکندگی و ضخامت‌های متفاوت از توفهای آندزیتی، لاپیلی توف، آگلومرا، ایگنیمیریت و گدازه بی‌دریبی هم قرار می‌گیرند (واحد  $Q_3$ ). آغاز این واحد نیز با برش‌های آتشفشاری بوده که نشانه انفجاری بودن فعالیت آتشفشاری است. در این واحد مجموعه‌های از برش‌ها تهنشست‌ها و لاهار وجود دارند که روی آن‌ها قطعات و جریان‌های گدازه قرار گرفته‌اند. این گدازه‌ها به صورت متناوب با آذرآواری‌ها قرار دارند (شکل ۴ ب). در این واحد ستیغهای سوزنی دیده می‌شوند که بیشتر از برش گدازه و آگلومرا تشکیل شده‌اند. در این میان تهنشست‌های آذرین فوران یافته و تهنشست‌های فرسایشی نیز به فراوانی یافت می‌شوند. روی این واحد جریانی از گدازه گستردۀ و ضخیمی قرار گرفته و روی همه آن‌ها پومیس‌های داسیتی به صورت منطقه‌ای قرار گرفته‌اند (واحد  $Q_4$ ). در لابلای این مجموعه جریان‌های بزرگی از ایگنیمیریت به چشم می‌خورد. جریان‌های گدازه‌ای آندزیتی که به صورت محدود پیرامون دهانه اصلی آتشفشار دیده می‌شوند به عنوان آخرین فازهای خروجی آتشفشار تفتان به حساب می‌آیند (واحد  $Q_5$ ). واحدهای بسا فعالیت آتشفشار بیشتر شامل

### زمین‌شناسی عمومی تفتان

در یک نگاه کلی می‌توان رخساره‌های سنگی این آتشفشار را در سه گروه سنگ‌های قدیمی‌تر از فعالیت‌های آتشفشاری تفتان، سنگ‌های حاصل از فعالیت‌های تفتان و سنگ‌های پس از فعالیت تفتان تقسیم بندهی کرد.

گروه نخست پی سنگ آتشفشار بوده و بیشتر از سنگ‌های تهنشستی چون ماسه سنگ، شیل، سنگ آهک، گریوک، مارن (رخساه فلیش)، آمیزه‌های رنگین شامل سنگ‌های اولترامافیک (پریدوتیت‌ها)، بازیک (گابروها و بازلات‌ها)، آهک‌های پلازیک، رادیولاریت، و به مقدار کمتر مجموعه سنگ‌های دگرگون (متاگریوک‌ها، فیلیت‌ها، اسلیت‌ها و شیست‌ها) تشکیل شده‌اند (شکل ۳).

گروه دوم یعنی محصولات آتشفشاری تفتان، بیشتر از سنگ‌های آذرآواری‌اند که در تناوب با آن‌ها جریان‌های گدازه‌ای نیز به فراوانی دیده می‌شوند. علاوه بر این، حجم زیادی از ساختار آتشفشار تفتان را گدازه‌های ایگنیمیریتی و توفهای خود اختصاص داده‌اند. این سنگ‌ها را می‌توان به چندین واحد تقسیم‌بندهی کرد. نخست سنگ‌های آذرآواری و جریان‌های گدازه‌ای که به طور مستقیم روی واحدهای گروه نخست قرار گرفته‌اند (شکل ۴ الف) و مرز آن‌ها با مجموعه‌های زیرین در اغلب نقاط به خوبی دیده می‌شود. در قاعده این واحد، رخساره‌های آذرآواری بیشتر به صورت برش، ایگنیمیریت، جریان‌های پومیسی و خاکستر با ضخامت‌های متفاوت هستند (شکل ۳). این مجموعه در اغلب نقاط، واحدهای توفی به رنگ-

حجم بیشتر واحدهای دگرسان را توفهایی با ترکیب اسیدی تا حد واسط تشکیل می‌دهند.

دگرسانی و جابه‌جایی‌های قطعه‌های آتشفشنای‌اند، و زون‌های دگرسان شده تفتان که از گسترش نسبی بسیار بالایی برخوردارند در اغلب مجموعه‌های آتشفشنای به چشم می‌خورند.



شکل ۳ نقشه زمین‌شناسی کوه آتشفشنای تفتان (اقتباس از [۲۸] با تغییرات اساسی).



شکل ۴ الف) مرز تنهنشستهای فلیش (در قاعده) و آذرآواری‌های تفتان (در بالا) در حوالی روستای نارون. ب) توالی گدازهای و سنگ‌های آذرآواری تفتان حوالی روستای تمندان.

روش بررسی

پس از بررسی‌های صحرایی و میکروسکوپی نمونه‌های سنگی جمع آوری شده، با توجه به امکانات موجود، تعداد ۴۰ نمونه سنگی برای آنالیز عناصر اصلی سازنده آن‌ها با دستگاه ICP در شرکت ALS Chemex به کانادا ارسال شدند. این نمونه‌ها با دقیق بسیار بالا تجزیه و با نمونه‌های تجزیه شده قبلی از آتشفشار تفتان که با پرتو X فلئورسان ریگاکو (Rigaku XRF 327) در دانشگاه آکیتای ژاپن انجام شده بود [۱۲] مقایسه و درستی آن‌ها مورد بررسی قرار گرفتند. برای بررسی ژئوشیمی کانی‌های اصلی تفتان، با توجه به امکانات محدود،



کرونودوم، ارتوکلاز، ولاستونیت، روتیل، اسپیکولاریت، روئیت، کرومیت، واکسیدنیکل بوده‌اند. قطر پرتو الکترونی استفاده شده در این بررسی‌ها در حدود ۵ میکرون بوده است. نتایج آنالیز نمونه‌های سنگی، ریزپردازشگر و فرمول ساختاری به ترتیب در جدول‌های ۱، ۲ و ۳ آورده شده‌اند. فرمول کانی‌ها برای پلازیوکلاز هشت، پیروکسن شش، بیوتیت و آمفیبول برمبنای بیست و سه اکسیژن محاسبه شدند.

TSM-137، TSM-139 و TSM-152 تعداد ۴ نمونه سنگی با شماره‌های TSM-49 برای آنالیزکمی کانی‌های پلازیوکلاز، پیروکسن (ارتو و کلینوپیروکسن)، آمفیبول، بیوتیت، و تیتانومگنتیت انتخاب شد. ریز پردازش با یک ابر پردازشگر خودکار مدل JXA-8600 با ولتاژ شتاب دهنده ۲۰ کیلووات و جریان ۱۰ نانوآمپر در مرکز تحقیقات و فراوری موادمعدنی ایران صورت گرفت. استانداردهای استفاده شده، آلبیت، پریکلاز،

جدول ۱ نتایج تجزیه شیمیایی اکسیدهای عناصر اصلی با دستگاه ICP-MS (Wt%)

SampleNo.	SiO <sub>2</sub>	Al <sub>2</sub> O <sub>3</sub>	Fe <sub>2</sub> O <sub>3</sub>	CaO	MgO	Na <sub>2</sub> O	K <sub>2</sub> O	Cr <sub>2</sub> O <sub>3</sub>	TiO <sub>2</sub>	MnO	P <sub>2</sub> O <sub>5</sub>	SrO	BaO	LOI	Total
TSH-176	62.7	16.12	4.75	5.13	2.28	2.95	2.22	0.01	0.87	0.07	0.19	0.06	0.08	2.15	100
TSH-181	53.4	17.45	7.21	7.97	4.32	2.59	1.72	0.01	0.99	0.10	0.23	0.09	0.04	3.35	99.5
TSH-182	62.1	15.84	4.44	8.82	1.97	2.74	2.98	0.02	0.63	0.07	0.18	0.06	0.06	3.13	99.8
TSH-183	61.1	16.65	4.91	5.59	2.61	2.95	2.82	0.01	0.75	0.08	0.22	0.07	0.07	1.80	99.6
TSH-185	57.5	16.85	6.05	7.84	2.47	3.10	1.99	0.02	0.97	0.11	0.24	0.06	0.05	1.06	99.8
TSM-92	58.50	17.70	5.45	5.93	2.48	3.24	2.43	0.01	0.68	0.07	0.20	0.08	0.06	1.37	98.2
TSM-93	58.40	17.45	5.62	6.61	2.05	3.17	1.86	0.01	0.70	0.10	0.24	0.11	0.06	1.03	98.4
TSM-102	57.00	16.55	5.97	7.02	2.97	2.96	2.50	0.01	0.78	0.15	0.22	0.11	0.07	2.28	98.6
TSM-106	61.30	16.30	4.85	4.94	1.80	2.97	2.90	0.01	0.67	0.10	0.26	0.08	0.07	2.98	99.2
TSM-111	59.90	17.15	4.99	6.35	1.09	3.88	2.88	0.01	0.66	0.09	0.26	0.10	0.07	2.90	100
TSM-112	62.00	17.15	5.28	5.78	2.60	3.77	2.37	0.01	0.75	0.08	0.27	0.08	0.06	1.33	99.7
TSM-115	61.10	17.50	4.03	5.77	2.49	3.29	2.15	0.01	0.65	0.07	0.21	0.06	0.05	2.69	100
TSM-116	57.70	17.45	5.98	6.91	2.66	3.43	1.99	0.01	1.01	0.09	0.27	0.14	0.05	0.87	99.6
TSM-118	63.40	16.30	4.57	5.08	2.45	3.76	2.31	0.01	0.61	0.08	0.13	0.06	0.05	2.41	100
TSM-126	61.20	17.20	4.23	5.43	1.98	3.63	2.13	0.01	0.61	0.06	0.22	0.06	0.05	2.78	99.6
TSM-127	51.71	17.70	8.83	7.35	2.88	3.45	1.21	0.02	0.67	0.10	0.27	0.07	0.04	4.73	98.2
TSM-128	50.11	17.75	7.15	9.60	4.72	3.42	1.16	0.02	0.93	0.13	0.32	0.09	0.04	4.02	99.6
TSM-129	62.80	16.50	4.10	4.85	2.10	3.72	2.34	0.01	0.59	0.06	0.20	0.07	0.05	1.15	98.5
TSM-130	59.40	17.55	5.47	6.19	2.87	3.80	1.82	0.01	0.53	0.10	0.27	0.07	0.04	0.76	99.1
TSM-132	66.70	16.30	4.62	5.12	2.54	3.64	2.22	0.01	0.59	0.09	0.20	0.07	0.05	1.24	98.5
TSM-137	61.70	17.15	4.80	5.68	2.64	3.71	2.18	0.01	0.64	0.08	0.21	0.07	0.05	1.12	100
TSM-139	61.70	17	4.68	5.61	2.64	3.77	2.05	0.01	0.62	0.08	0.20	0.06	0.05	0.94	99.4
TSM-142	61.60	16.45	4.77	5.30	2.50	3.71	2.44	0.01	0.68	0.08	0.24	0.07	0.06	1.36	99.3
TSM-152	57.70	16.45	6.20	7.40	4.72	3.35	1.85	0.02	0.77	0.10	0.21	0.09	0.03	0.61	99.3
TSM-153	58.00	16.90	5.67	6.17	2.41	3.80	2.09	0.01	0.60	0.09	0.28	0.09	0.06	0.98	98.6
TSS-12	63.40	16.70	4.64	5.24	2.39	3.78	2.38	0.01	0.62	0.08	0.22	0.06	0.05	0.36	99.9
TSS-28	59.40	17.05	5.61	6.72	2.30	3.70	2.28	0.01	0.63	0.09	0.25	0.12	0.05	0.41	100
TSS-51	61.40	18.05	5.28	5.14	0.96	3.57	1.96	0.01	0.69	0.04	0.23	0.07	0.05	2.26	99.7
TSS-56	61.40	17.60	5.26	5.66	2.53	3.68	1.98	0.01	0.74	0.09	0.22	0.07	0.05	0.51	100
TSS-49	58.70	18.40	8.52	6.66	2.43	3.39	1.48	0.01	0.81	0.10	0.21	0.08	0.04	0.20	100
TSS-70	62.00	17.50	5.15	5.89	2.42	3.63	1.85	0.01	0.66	0.09	0.19	0.08	0.05	0.08	99.6
TSS-71	58.70	18.20	6.34	6.97	2.44	3.75	1.46	0.01	0.79	0.01	0.18	0.07	0.04	0.27	100
TSS-73	61.90	61.55	4.73	5.56	2.36	3.73	2.38	0.01	0.60	0.09	0.22	0.07	0.05	1.40	99.7
TSS-82	60.30	17.60	5.34	6.29	3.03	3.73	1.85	0.01	0.79	0.06	0.14	0.11	0.04	0.56	100
TSS-86	49.80	17.30	7.93	9.62	5.69	3.14	1.21	0.03	0.98	0.13	0.36	0.83	0.18	0.90	100
TST-6	62.50	16.30	4.51	5.24	2.32	3.78	2.33	0.01	0.55	0.08	0.20	0.07	0.05	0.60	98.5
TST-7	62.10	16.40	4.49	5.23	2.36	3.79	2.36	0.01	0.54	0.08	0.21	0.07	0.05	0.68	99.3
TST-11	63.50	16.30	4.49	5.16	2.26	3.81	2.39	0.01	0.55	0.08	0.22	0.07	0.05	0.60	99.5
TST-13	56.90	17.35	6.18	7.05	2.49	3.64	1.73	0.01	0.75	0.09	0.23	0.11	0.04	0.73	98.3
TST-27	59.20	16.55	5.85	7.13	3.91	3.55	1.76	0.01	0.69	0.09	0.22	0.10	0.04	0.87	100

جدول ۲ آنالیز شیمیایی پلازیوکلазهای موجود در سنگ‌های آتشفشاری تفتان.

Sample	PI-1	PI-2	PI-3	PI-4	PI-5	PI-6	PI-7		PI-1	PI-2	PI-3	PI-4	PI-5	
Oxides	Core TSM-152							Rim	Core TSM-152				Rim	
<b>SiO<sub>2</sub></b>	۶۰,۲۰	۵۴,۹۰	۵۲,۱۷	۵۲,۱۷	۵۳,۳۵	۵۲,۷۶	۵۳,۰۳		۵۸,۱۷	۵۶,۴۶	۵۷,۸۵	۵۸,۷۵	۵۸,۷۸	
<b>TiO<sub>2</sub></b>	۰,۱۳	۰,۱۰	۰,۰۷	۰,۰۸	۰,۰۴	۰,۰۱	۰,۰۶		۰	۰,۰۳	۰	۰	۰	
<b>Al<sub>2</sub>O<sub>3</sub></b>	۲۳,۱۶	۲۸,۰۳	۲۸,۸۱	۲۸,۹۵	۲۷,۸۳	۲۹,۰۴	۲۸,۳۰		۲۶,۰۶	۲۷,۰۶	۲۶,۴۸	۲۶,۲۷	۲۵,۹۲	
<b>Fe<sub>2</sub>O<sub>3</sub></b>	۰,۶۱	۰,۷۵	۰,۶۹	۰,۷۰	۰,۷۸	۰,۸۳	۰,۸۲		۰,۱۹	۰,۲۰	۰,۱۴	۰,۲۵	۰,۱۸	
<b>CaO</b>	۵,۹۲	۱۱,۰۵	۱۲,۳۷	۱۲,۲۱	۱۱,۲۲	۱۲,۲۴	۱۱,۶۹		۸,۴۲	۹,۶۱	۸,۲۱	۸,۱۵	۷,۹۵	
<b>Na<sub>2</sub>O</b>	۷,۱۴	۵,۴۷	۴,۵۱	۴,۶۲	۵,۱۹	۴,۶۰	۴,۹۵		۶,۸۲	۶,۳۶	۶,۷۰	۶,۸۸	۷,۲۲	
<b>K<sub>2</sub>O</b>	۲,۰۳	۰,۳۰	۰,۲۷	۰,۲۸	۰,۳۸	۰,۲۷	۰,۲۷		۰,۸۲	۰,۴۳	۰,۵۹	۰,۶۳	۰,۶۰	
<b>Total</b>	۹۹,۱۹	۱۰۰,۶۰	۹۸,۸۸	۹۹,۰۱	۹۸,۷۷	۹۹,۷۵	۹۹,۱۰		۱۰۰,۴	۱۰۰,۱۵	۹۹,۹۸	۱۰۰,۹	۱۰۰,۶	
<b>Si</b>	۲,۴۷	۲,۴۰	۲,۴۰	۲,۴۵	۲,۴۱	۲,۴۳	۱,۲۴		۲,۵۴	۲,۶۰	۲,۶۱	۲,۶۲	۲,۶۳	
<b>Al</b>	۱,۲۴	۱,۴۹	۱,۵۶	۱,۵۷	۱,۵۱	۱,۵۶	۱,۵۳		۱,۳۸	۱,۴۴	۱,۴۰	۱,۳۸	۱,۳۶	
<b>Fe+3</b>	۰,۰۲	۰,۰۳	۰,۰۳	۰,۰۳	۰,۰۳	۰,۰۳	۰,۰۳		۰,۰۱	۰,۰۱	۰,۰۱	۰,۰۱	۰,۰۱	
<b>Ca</b>	۰,۲۹	۰,۵۳	۰,۶۱	۰,۶۰	۰,۵۵	۰,۶۰	۰,۵۷		۰,۴۰	۰,۴۶	۰,۳۹	۰,۳۹	۰,۳۸	
<b>Na</b>	۰,۶۳	۰,۴۸	۰,۴۰	۰,۴۱	۰,۴۶	۰,۴۱	۰,۴۴		۰,۵۹	۰,۵۵	۰,۵۸	۰,۵۹	۰,۶۲	
<b>K</b>	۰,۱۲	۰,۰۲	۰,۰۲	۰,۰۲	۰,۰۲	۰,۰۲	۰,۰۲		۰,۰۴	۰,۰۲	۰,۰۳	۰,۰۴	۰,۰۳	
<b>Na+Ca</b>	۰,۹۱	۱,۰۱	۱,۰۱	۱,۰۱	۱,۰۲	۱,۰۱	۰,۵۷		۱,۰۰	۱,۰۲	۰,۹۸	۰,۹۸	۱,۰۰	
<b>%Ab</b>	۶۸,۵۹	۴۷,۲۴	۳۹,۷۳	۴۰,۶۲	۴۵,۰۵	۴۰,۴۶	۷۶,۴۸		۵۹,۴۶	۵۴,۴۹	۵۹,۶۲	۶۰,۴۴	۶۲,۱۸	
<b>%An</b>	۳۱,۴۱	۵۲,۷۶	۶۰,۷۷	۵۹,۳۸	۵۴,۴۵	۵۹,۰۴	۲۳,۰۲		۴۰,۰۴	۴۵,۰۱	۴۰,۳۸	۳۹,۵۶	۳۷,۸۲	

ادامه جدول ۲

PI-1	PI-2	PI-3	PI-4	PI-5	PI-6	PI-7	PI-8	PI-1	PI-2	PI-3	PI-4	PI-5	PI-1	PI-2	PI-3	PI-4	PI-5			
Core	TSM-137							Rim	Core	TSM-139				Rim	Core	TSS-49				Rim
۵۷,۰	۵۶,۹۲	۵۳,۸۵	۵۷,۹۲	۵۶,۶۶	۵۸,۰۷	۵۶,۴۳	۴۹,۸۴		۵۷,۹۷	۵۷,۸۰	۵۷,۲۰	۵۷,۳۹	۵۷,۵۵		۵۷,۴۴	۵۷,۴۲	۵۷,۱۸	۵۹,۰۴	۵۸,۶۴	
۰	۰,۰۲	۰,۰۴	۰	۰,۰۳	۰	۰,۰۴	۰,۰۱		۰,۰۳	۰	۰,۰۴	۰	۰		۰,۰۱	۰,۰۷	۰	۰		
۲۶,۵۱	۲۶,۹۸	۲۸,۲۵	۲۵,۸۵	۲۶,۴۵	۲۵,۵۲	۲۷,۴۲	۳۱,۰۹		۲۵,۰۹	۲۶,۸۱	۲۶,۰۵	۲۶,۲۰	۲۶,۰۳		۲۶,۸۵	۲۷,۰۸	۲۶,۷۴	۲۵,۸۱	۲۶,۱۵	
۰,۲۸	۰,۳۳	۰,۳۱	۰,۲۸	۰,۲۸	۰,۳۳	۰,۳۶	۰,۵۳		۰,۲۶	۰,۲۶	۰,۲۱	۰,۲۴	۰,۲۱		۰,۱۹	۰,۲۲	۰,۲۳	۰,۲۴	۰,۲۶	
۸,۶۸	۹,۱۰	۱۰,۸۵	۸,۱۳	۸,۴۸	۷,۴۴	۹,۷۶	۱۴,۲۸		۸,۰۱	۵,۲۸	۸,۳۶	۸,۲۴	۸,۱۴		۰,۰۹	۸,۸۱	۸,۹۵	۷,۱۰	۸,۱۲	
۶,۶۲	۶,۴۱	۵,۴۹	۷,۰۹	۶,۶۷	۷,۲۱	۶,۱۶	۳,۶۵		۶,۹۴	۶,۶۸	۶,۶۳	۶,۷۶	۶,۷۱		۶,۵۲	۶,۵۳	۷,۰۴	۶,۷۸		
۰,۶۲	۰,۵۹	۰,۴۳	۰,۶۸	۰,۶۳	۰,۸۳	۰,۵۶	۰,۱۶		۰,۷۶	۰,۷۳	۰,۶۶	۰,۶۷	۰,۶۹		۰,۶۱	۰,۵۸	۰,۶۳	۰,۷۰	۰,۸۰	
۹۹,۷۱	۹۹,۷۱	۹۹,۲۱	۹۹,۳۲	۹۹,۹۱	۹۹,۹۴	۱۰۰,۷۲	۹۹,۰۵		۹۹,۰۵	۹۹,۹۲	۹۹,۵۱	۹۹,۴۹	۹۹,۳۲		۱۰۰,۰۷	۱۰۰,۸۵	۱۰۰,۳۴	۹۹,۹۰	۱۰۰,۷۴	
۲,۵۵	۲,۴۶	۲,۶۰	۲,۵۷	۲,۶۳	۲,۵۳	۱,۲۷	۱,۲۳		۲,۵۹	۲,۵۹	۲,۶۰	۲,۴۱	۲,۵۷		۲,۵۷	۲,۶۵	۲,۶۱	۲,۶۳		
۱,۴۱	۱,۴۴	۱,۰۲	۱,۳۸	۱,۴۱	۱,۳۵	۱,۴۵	۱,۶۸		۱,۳۹	۱,۳۹	۱,۴۰	۱,۳۹	۱,۴۱		۱,۴۳	۱,۴۱	۱,۳۳	۱,۳۷		
۰,۰۱	۰,۰۱	۰,۰۱	۰,۰۱	۰,۰۱	۰,۰۱	۰,۰۱	۰,۰۲		۰,۰۱	۰,۰۱	۰,۰۱	۰,۰۱	۰,۰۱		۰,۰۱	۰,۰۱	۰,۰۱	۰,۰۱		
۰,۴۲	۰,۴۴	۰,۵۳	۰,۳۹	۰,۴۱	۰,۳۶	۰,۴۷	۰,۷۰		۰,۳۹	۰,۴۰	۰,۴۱	۰,۴۰	۰,۳۹		۰,۴۴	۰,۴۲	۰,۴۳	۰,۳۷	۰,۳۹	
۰,۰۵۸	۰,۰۵	۰,۰۹	۰,۶۲	۰,۰۹	۰,۶۳	۰,۰۴	۰,۳۲		۰,۶۱	۰,۵۸	۰,۵۸	۰,۵۹	۰,۵۶		۰,۵۷	۰,۵۷	۰,۵۷	۰,۵۹		
۰,۰۴	۰,۰۳	۰,۰۲	۰,۰۴	۰,۰۴	۰,۰۵	۰,۰۳	۰,۰۱		۰,۰۴	۰,۰۴	۰,۰۴	۰,۰۴	۰,۰۳		۰,۰۳	۰,۰۴	۰,۰۴	۰,۰۵		
۱,۰۰	۱,۰۰	۱,۰۲	۱,۰۲	۱,۰۰	۰,۹۹	۱,۰۰	۱,۰۳		۰,۹۹	۰,۹۸	۰,۹۹	۰,۹۹	۰,۹۸		۱,۰۰	۰,۹۹	۱,۰۰	۰,۹۸	۰,۹۷	
۵۷,۹۸	۵۶,۰۴	۴۷,۷۸	۶۱,۲۱	۵۸,۷۴	۶۳,۷	۵۳,۳۲	۳۱,۶۰		۶۱,۰۷	۵۹,۳۶	۵۸,۹۳	۵۹,۷۲	۵۹,۸۶		۵۹,۰۰	۵۷,۵۷	۵۷,۰۰	۶۲,۲۴	۶۰,۸۲	
۴۲,۰۲	۴۳,۹۶	۵۲,۲۲	۲۸,۷۹	۴۱,۲۶	۲۶,۳۰	۴۶,۶۸	۶۸,۴۰		۳۸,۹۳	۴۰,۶۴	۴۱,۰۷	۴۰,۲۸	۴۰,۱۴		۴۲,۴۲	۴۲,۰۰	۳۷,۷۶	۳۹,۱۸		

جدول ۳ آنالیز شیمیایی آمفیبولهای موجود در سنگ‌های آتشفسانی تفتان.

Sample	AM-1	AM-2	AM-3	AM-4	AM-5	AM-1	AM-2	AM-3	AM-4	AM-5
Oxides	Core TSS-49					Rim				
SiO <sub>2</sub>	۴۸,۱۲	۴۵,۶۵	۴۵,۸۶	۴۸,۰۷	۴۵,۹۲	۴۴,۷۶	۴۶,۳۱	۴۴,۱۵	۴۲,۴۳	۴۶,۰۵
TiO <sub>2</sub>	۱,۶۹	۱,۹۰	۱,۶۲	۱,۴۲	۱,۸۸	۲,۰۲	۱,۸۰	۲,۲۴	۲,۳۷	۱,۹۰
Al <sub>2</sub> O <sub>3</sub>	۶,۸۵	۸,۱۵	۸,۱۱	۷,۰۵	۸,۰۵	۱۰,۰۲	۸,۰۵	۱۰,۷۱	۱۰,۷۸	۸,۰۵
FeO	۱۲,۳۲	۱۳,۱۳	۱۳,۸۰	۱۲,۶۵	۱۵,۲۰	۱۳,۶۱	۱۲,۸۳	۱۳,۸۴	۱۳,۶۸	۱۲,۴۶
MnO	۰,۴۷	۰,۴۳	۰,۴۸	۰,۳۸	۰,۴۴	۰,۳۲	۰,۲۶	۰,۲۲	۰,۴۰	۰,۳۶
MgO	۱۵,۴۶	۱۶,۴۲	۱۶,۴۹	۱۵,۶۳	۱۶,۵۶	۱۳,۴۱	۱۴,۸۴	۱۳,۲۹	۱۳,۲۷	۱۴,۸۵
CaO	۱۱,۱۵	۱۱,۴۴	۱۱,۰۴	۱۱,۰۸	۱۱,۲۸	۱۱,۲۸	۱۱,۴۰	۱۱,۲۴	۱۱,۵۰	۱۱,۲۸
Na <sub>2</sub> O	۱,۴۹	۱,۷۱	۱,۸۷	۱,۴۴	۱,۶۲	۱,۷۷	۱,۷۵	۱,۹۱	۱,۴۶	۱,۴۳
K <sub>2</sub> O	۰,۶۸	۰,۸۰	۰,۹۲	۰,۶۱	۰,۸۶	۱,۱۷	۰,۹۴	۱,۱۲	۱,۱۲	۰,۹۲
H <sub>2</sub> O	۲,۱۶	۲,۱۳	۲,۱۳	۲,۱۶	۲,۱۳	۲,۱۳	۳,۱۵	۲,۱۴	۲,۱۱	۲,۱۴
Total	۱۰۰,۳۸	۱۰۰,۰۶	۱۰۰,۳۰	۱۰۰,۴۹	۹۹,۹۳	۱۰۰,۴۹	۱۰۰,۸۳	۱۰۰,۹۶	۹۹,۱۲	۱۰۰,۰۴
Si	۶,۹۷	۷,۰۵	۷,۰۴	۷,۲۷	۷,۰۶	۶,۵۷	۷,۰۳	۶,۷۵	۶,۶۹	۷,۱۱
Al	۱,۰۳	۰,۹۵	۰,۹۶	۰,۷۳	۰,۹۴	۱,۴۳	۰,۹۷	۱,۲۵	۱,۳۱	۰,۸۹
T-site	۸	۸,۰۰	۸,۰۰	۸,۰۰	۸,۰۰	۸,۰۰	۸,۰۰	۸,۰۰	۸,۰۰	۸,۰۰
Al	۰,۱۴	۰,۵۲	۰,۵۱	۰,۵۳	۰,۵۱	۰,۳۰	۰,۵۶	۰,۶۹	۰,۶۶	۰,۵۵
Ti	۰,۱۸	۰,۲۲	۰,۱۹	۰,۱۶	۰,۲۲	۰,۲۲	۰,۲۱	۰,۲۶	۰,۲۸	۰,۲۲
Fe	۱,۴۹	۱,۸۸	۱,۷۷	۱,۶۰	۱,۷۰	۱,۸۷	۱,۶۳	۱,۷۷	۱,۷۷	۱,۵۶
Mn	۰,۱۶	۰,۱۶	۰,۱۶	۰,۱۵	۰,۱۶	۰,۱۴	۰,۱۴	۰,۱۴	۰,۱۵	۰,۱۵
Mg	۳,۳۴	۳,۲۰	۳,۲۲	۳,۵۲	۳,۲۳	۲,۹۳	۳,۳۶	۳,۰۳	۳,۰۶	۳,۳۸
O-site	۵,۲۱	۵,۷۸	۵,۸۵	۵,۸۷	۵,۸۲	۵,۱۶	۵,۷۹	۵,۷۹	۵,۸۲	۵,۷۹
Ca	۱,۷۳	۱,۸۸	۱,۸۲	۱,۸۰	۱,۸۶	۱,۷۷	۱,۸۵	۱,۸۴	۱,۹۱	۱,۸۶
Na	۰,۴۲	۰,۵۱	۰,۵۶	۰,۴۲	۰,۴۸	۰,۵۰	۰,۵۲	۰,۵۷	۰,۴۴	۰,۴۲
K	۰,۱۲	۰,۱۶	۰,۱۸	۰,۱۲	۰,۱۷	۰,۱۲	۰,۱۸	۰,۲۲	۰,۲۲	۰,۱۸
A-site	۲,۲۷	۲,۵۵	۲,۵۵	۲,۲۴	۲,۵۱	۲,۵۰	۲,۵۵	۲,۸۳	۲,۵۷	۲,۴۶
OH	۲,۰۹	۲,۱۸	۲,۱۸	۲,۱۸	۲,۱۸	۲,۰۹	۲,۱۸	۲,۱۸	۲,۱۸	۲,۱۸

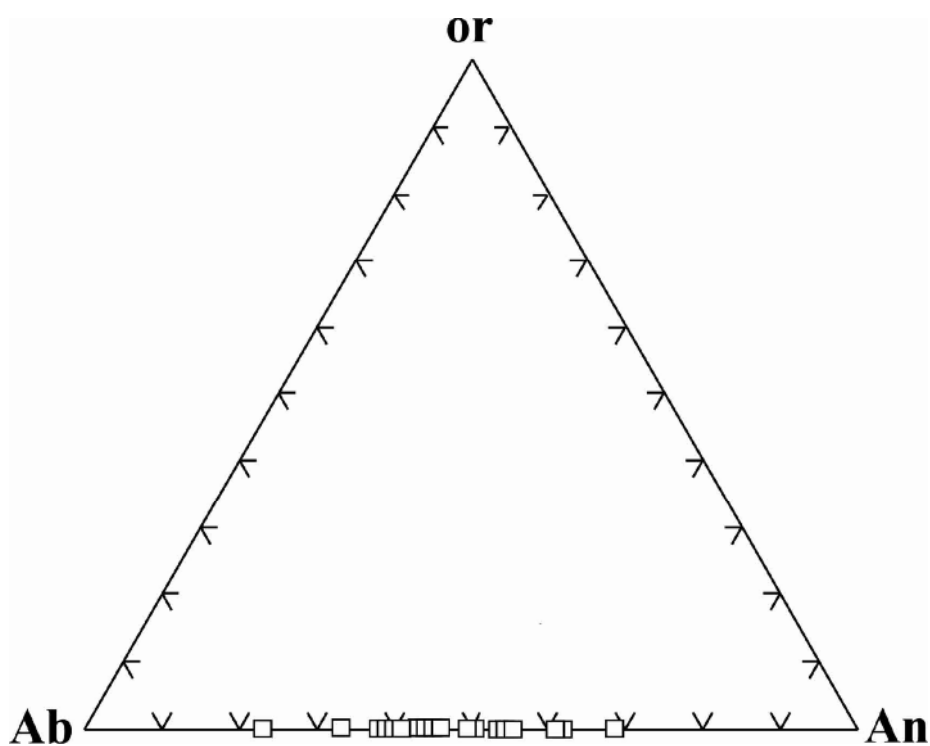
جدول ۴ آنالیز شیمیایی کانی‌های بیوتیت و پیروکسن موجود در سنگ‌های آتشفسانی تفتان.

Sample	Bi-1	Bi-2	Bi-3	Bi-4	Bi-5	OPX-1	OPX-2	OPX-3	OPX-4	CPX-1	CPX-2
Oxides	Core TSM-139					Rim					TSM-152
SiO <sub>2</sub>	-۰,۳۸	۲۸,۱۵	۳۷,۹۴	۳۷,۷۷	۳۸,۰۸	۵۳,۴۳	۵۲,۹۹	۵۲,۸۵	۵۴,۳۴	۵۰,۶۳	۴۸,۳۱
TiO <sub>2</sub>	۴,۷۲	۳,۹۴	۳,۸۸	۴,۱۳	۳,۸۶	۰,۰۵	-۰,۱۹	-۰,۰۶	-۰,۰۶	-۰,۱۹	۱,۲۳
Al <sub>2</sub> O <sub>3</sub>	۱۴,۱۳	۱۴,۲۱	۱۴,۱۲	۱۴,۰۶	۱۴,۱۱	-۰,۵۹	-	-	-۰,۰۹	۳۶۸	۵۲۴
FeO	۱۳,۶۳	۱۴,۰۳	۱۴,۱۸	۱۴,۹۱	۱۳,۶۵	۲۰,۲۸	۲۰,۲۳	۲۰,۲۳	۱۹,۳۴	۱,۹۴	۱,۹۲
MnO	-۰,۱۲	-۰,۱۰	-۰,۱۱	-۰,۱۵	-۰,۱۶	-۰,۸۳	-۰,۹۴	-۰,۸۶	-۰,۸۱	-۰,۲۷	-۰,۲۲
MgO	۱۳,۷۲	۱۵,۱۷	۱۴,۸۲	۱۴,۹۷	۱۵,۱۶	۲۴,۶۶	۲۴,۲۳	۲۵,۱۳	۲۵,۲۱	۱۵,۱۰	۱۴,۵۷
CaO	-۰,۱۹	-۰,۱۳	-۰,۱۶	-۰,۰۵	-۰,۰۳	-۰,۸۲	-۰,۸۸	-۰,۸۷	-۰,۸۸	۲,۰۸۵	۲,۰۷۴
Na <sub>2</sub> O	-۰,۸۳	-۰,۹۰	-۰,۷۰	-۰,۵۵	-۰,۵۲	-۰,۰۰۹	-۰,۰۰۴	-۰,۰۵۸	-۰,۰۲۵	-۰,۴۸	-۰,۵۰
K <sub>2</sub> O	۹,۰۳	۹,۶۱	۹,۶۹	۹,۷۲	۹,۵۲	-	-۰,۱۳	-۰,۱۲	-	-۰,۱	-۰,۰۱
H <sub>2</sub> O	۴,۴۱	۴,۴۸	۴,۴۳	۴,۲۵	۴,۲۴	-	-	-	-	-	-
Total	۹۹,۱۷	۱۰۰,۰۸	۹۹,۹۳	۹۹,۷۷	۹۹,۶۵	۱۰۰,۶۱	۱۰۰,۵۸	۱۰۰,۰۱	۱۰۰,۷۵	۱۰۰,۷۹	۹۹,۷۴
Si	۵,۶۵	۶,۱۵	۶,۱۷	۶,۱۴	۶,۱۹	۱,۹۶	۱,۹۸	۱,۹۶	۱,۹۸	۱,۸۸	۱,۸۱
Al	۲,۲۵	۱,۸۵	۱,۸۳	۱,۸۶	۱,۸۱	-۰,۰۳	-	-	-	-۰,۱۸	-۰,۲۳
T-site	۸,۰۰	۸,۰۰	۸,۰۰	۸,۰۰	۸,۰۰	۱,۹۹	۱,۹۸	۱,۹۶	۱,۹۸	۲,۱۴	۲,۰۴
Al	-۰,۱۲	-۰,۸۵	-۰,۸۷	-۰,۸۴	-۰,۸۹	-	-	-	-	-	-
Ti	-۰,۰۳	-۰,۴۸	-۰,۴۷	-۰,۵۱	-۰,۴۷	-	-۰,۰۱	-	-	-۰,۰۲	-۰,۰۳
Fe	۱,۶۹	۱,۸۹	۱,۹۳	۱,۹۰	۱,۸۶	-۰,۶۲	-۰,۶۲	-۰,۶۳	-۰,۵۹	-۰,۲۸	-۰,۲۸
Mn	-۰,۱۲	-۰,۱	-۰,۰۲	-۰,۰۲	-۰,۰۲	-۰,۰۳	-۰,۰۳	-۰,۰۳	-۰,۰۳	-۰,۱	-۰,۰۱
Mg	۳,۰۳	۳,۶۵	۳,۵۹	۳,۶۴	۳,۶۷	۱۳۵	۱,۳۳	۱,۳۹	۱,۳۷	-۰,۸۳	-۰,۸۲
O-site	۵,۲۸	۶,۸۸	۶,۸۸	۶,۹۰	۶,۸۱	-	-	-	-	-	-
Ca	-۰,۱۳	-۰,۱	-۰,۰۱	-۰,۰۱	-۰,۰۱	-۰,۰۳	-۰,۰۳	-۰,۰۳	-۰,۰۳	-۰,۱۲	-۰,۱۳
Na	-۰,۱۸	-۰,۲۸	-۰,۱۲	-۰,۱۸	-۰,۱۶	-	-	-	-	-۰,۰۳	-۰,۰۴
K	۱,۰۰	۱,۹۸	۲,۰۱	۲,۰۲	۱,۹۷	-	-	-	-	-	-
A-site	۲,۰۲	۲,۲۶	۲,۲۴	۲,۲۱	۲,۱۴	En	-۰,۶۷۵	-۰,۶۷	-۰,۶۸	-۰,۶۸	-۰,۴۳
OH	۴,۴۶	۴,۸۰	۴,۸۰	۴,۶۲	۴,۶۰	Fs	-۰,۳۱	-۰,۳۱	-۰,۳۰	-۰,۳۰	-۰,۱۴۵
Mg#	-۰,۶۴	-۰,۶۶	-۰,۶۵	-۰,۶۶	-۰,۶۶	Wo	-۰,۰۱۵	-۰,۰۱۵	-۰,۰۱۵	-۰,۰۱۵	-۰,۴۳

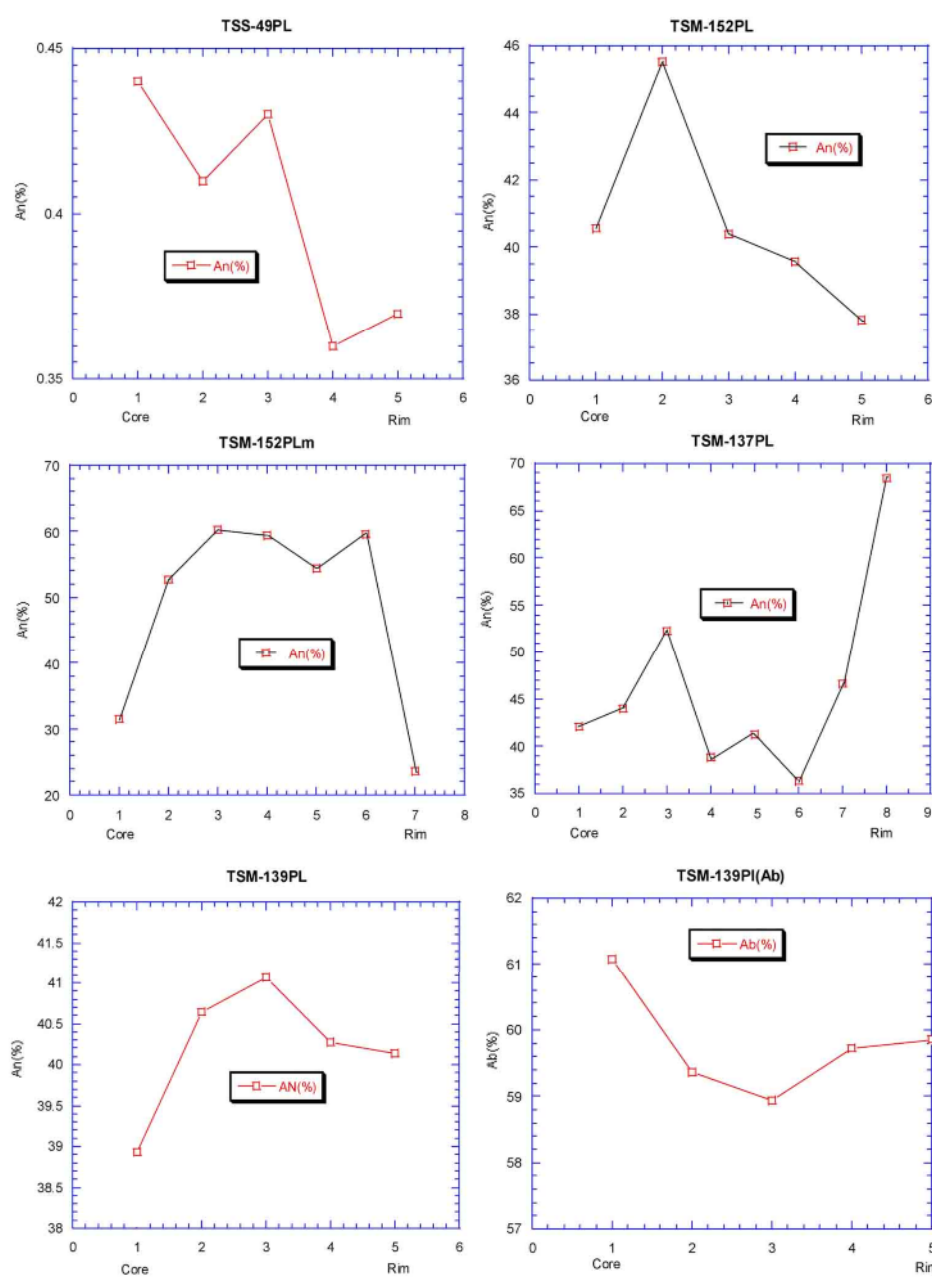
در شکل ۶ دیده می‌شوند. در این شکل پیداست که کانی‌های پلازیوکلاز موجود در سنگ‌های تفتان گرچه بی‌نظمی و نوسان‌هایی در ترکیب از لحاظ مقادیرسدهیم و کلسیم نشان می‌دهند، ولی از مرکز به کرانه درشت بلورهای پلازیوکلاز، معمولاً مقدار آنورتیت افزایش نشان می‌دهد (جدول ۲). میکرولیت‌های پلازیوکلاز موجود در خمیره آندزیت‌ها، نسبت به درشت بلورهای این کانی در همان سنگ، از آنورتیت غنی‌ترند (شکل ۶). درشت بلورهای پلازیوکلاز موجود در سنگ‌های آتشفشاری تفتان معمولاً دارای منطقه‌بندی معکوس و کمتر نوسانی و نرمال هستند. بی‌نظمی و نوسان در ترکیب شیمیایی پلازیوکلازها معمولاً بیانگر تشکیل آن‌ها در شرایط نامتعادل است، و معمولاً ناشی از تغییرات فشار [۱۴، ۱۳]، اختلاط ماقمایی و یا فروافت سریع ماقما [۱۶، ۱۵] هستند. ولی به نظر می‌رسد که تغییرات ترکیب شیمیایی پلازیوکلازهای موجود در سنگ‌های آتشفشاری تفتان بیشتر در اثر تغییر ترکیب شیمیایی ماقما توأم با تغییرات فشار و اختلاط ماقمایی به وجود آمده باشند.

### شیمی کانی‌ها

پلازیوکلاز: بلورهای پلازیوکلاز حدود ۷۵ درصد بلورهای سنگ‌های آتشفشاری تفتان را تشکیل می‌دهند و جزء اصلی-ترین کانی‌های تشکیل دهنده آن‌ها به شمار می‌روند. این کانی‌ها در سنگ‌های آتشفشاری تفتان دارای منطقه‌بندی بوده و نسل‌های متفاوتی از تبلور را نشان می‌دهند به طوری که در بسیاری موارد در حاشیه پلازیوکلازهای قدیمی تشکیل نسل جدیدتری را داده‌اند. مقدار اکسید سیلیسیم در نمونه‌های تجزیه شده این کانی‌ها از ۵۷/۲ درصد تا ۶۰/۲ درصد وزنی تغییر می‌کند که ارتباط آن با اکسید آلومینیوم معکوس است. نتایج ریزپردازی الکترونی پلازیوکلازهای سنگ‌های آتشفشاری تفتان در جدول ۲ آورده شده‌اند. به منظور نامگذاری آن‌ها از نمودار آلبیت-آنورتیت و ارتوز استفاده شده است. بنابراین رده-بندی (شکل ۵)، کلیه پلازیوکلازهای تجزیه شده در گستره آندزین تا لابرادور قرار می‌گیرند. مسلماً اگر نمونه‌های بیشتری آنالیز شوند گستره گستره‌تری از پلازیوکلازهای تفتان به دست خواهد آمد. تغییرات مقادیر کلسیم از مرکز تا حاشیه این بلورها



شکل ۵ ترکیب شیمیایی پلازیوکلاز‌های موجود در سنگ‌های آتشفشاری تفتان.



شکل ۶ تغییرات ترکیبی ریزپردازش پلازیوکلازهای موجود در سنگ‌های آندزیتی آتشفسانی تفتان (نمونه TSM-152PLm میکرولیت پلازیوکلاز می‌باشد).

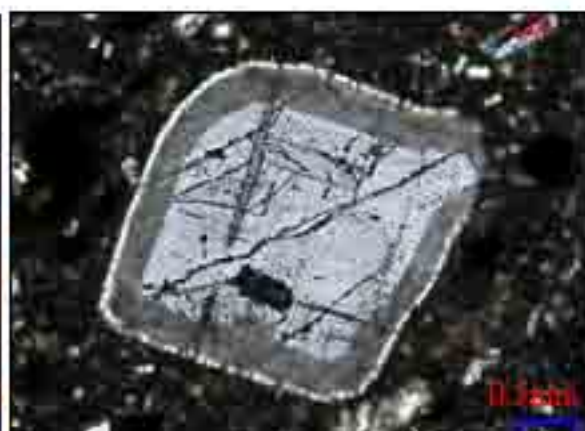
باشد ترکیب شیمیایی پلازیوکلاز به سمت قطب غنی از آنورتیت می‌گراید. نتیجه این امر حل شدن پلازیوکلاز و بدنبال آن رشد پلازیوکلاز کلسیم‌دار، ایجاد پوشش‌های غبارآلود (شکل ۷ الف) در نتیجه تغییر ترکیب پلازیوکلازهایست. یکی از عواملی که میزان تاثیر فشار را در تغییر ترکیب شیمیایی پلازیوکلازها به خوبی نشان می‌دهد مقدار آب موجود در مagma است. در حالت کلی حضور آب همراه با کاهش فشار لیتواستاتیک سبب کاهش چسبندگی magma و به دنبال آن سقوط منحنی‌های

تغییر ترکیب شیمیایی magma توام با تغییرات فشار نوسان‌های فشار به ویژه فشار بخار آب در magmaهای آهکی-قلیایی مناطق آتشفسانی امری کاملاً عادی و معمول است. با کاهش فشار و خروج سریع بخارها، شب منحنی انجماد پلازیوکلاز منفی است که باعث انحلال و ایجاد نوسان‌های ترکیبی در ترکیب پلازیوکلازها می‌شود. [۱۷] نشان داده‌اند که در یک سیستم تک‌دما، معمولاً با افزایش فشار بخار آب منحنی انجماد پایین آمده و در صورتی که سرعت سرد شدن آهسته

(شکل ۷ب) به خوبی مشهود است.

[۱۸] منطقه‌بندی ترکیبی یا نوسانی بلورهای پلازیوکلاز را نتیجه تغییر ناگهانی درصد آنورتیت به سمت خارج بلور و تغییرات تدریجی درصد آنورتیت پلازیوکلازها می‌دانند. ولی در پلازیوکلازهای سنگ‌های آتشفشاری تفتان به نظر می‌رسد منطقه‌بندی ترکیبی، نتیجه تغییرات ناگهانی در شرایط دینامیکی تبلور، نوسانات فشار بخار آب و اختلال ماقمایی باشد. افزایش میزان بخارهای ماقمایی در شرایط آتشفشاری در کرانه‌های این بلورها سبب پایین آمدن منحنی‌های انجماد و سیلان و در نتیجه حل شدن سریعتر آن‌ها شده است. درشت بلورهای پلازیوکلاز سنگ‌های آتشفشاری تفتان الگوی پیچیده منطقه‌بندی ترکیبی، تحلیل، واکنش با ماقما، و خردشده‌گی را نشان می‌دهند. این الگوها شواهدی از یک سرگذشت تحولی را در بردارند که به نظر می‌رسد. الف) درشت بلورهای پلازیوکلاز در یک آشیانه ماقمایی در عمق پایین تبلور حاصل کرده باشند، شاید شکل‌دار، درشت بودن، و نبودن منطقه‌بندی در دسته‌ای از این بلورها به این دلیل باشد. ب) همگام با انتقال ماقما به اعمق کمتر، حل شدن و تحلیل در این بلورها صورت گرفته و بافت غربالی در آن‌ها به وجود آمده است (شکل ۷ب). ج) در فشارهای پایین‌تر (نzdیک به سطح) پلازیوکلازها با پلازیوکلازی با ترکیب مشابه با پلازیوکلازهای خمیره پوشانده می‌شود در هنگام فوران ماقمای بدام افتاده در بخش‌های حل شده یافته پلازیوکلازها زمینه خردشده‌گی آن‌ها را فراهم می‌کند.

انجماد و سیلان و حل شدن بلورها، سهولت صعود ماگما به سطح زمین و نهایتاً افزایش نرخ انتشار می‌شود [۱۷]. میزان آب در ماگماهای سازنده کوه آتشفشاری تفتان نسبتاً بالاست، دلیل آن حضور فراوان کانی‌های آبدار اولیه نظیر بیوتیت و هورنبلند در اغلب سنگ‌های سازنده این آتشفشار است. لذا به نظر می‌رسد که تغییرات فشار بخار آب همگام با کاهش فشار لیتواستاتیک در تشکیل بافت‌های حل شونده و به دنبال آن نوسان‌های ترکیبی پلازیوکلازها نقش داشته‌اند. دو نوع درشت بلور پلازیوکلاز، حل شونده و ناحل شونده در سنگ‌های تفتان حضور دارند. درشت بلورهای حل شده در مقایسه با درشت بلورهای ناحل شونده معمولاً منطقه‌بندی بیشتری را نشان می‌دهند. همه درشت بلورها در مقایسه با ریز بلورهای پلازیوکلاز خمیره، حل شوندگی و منطقه‌بندی بیشتری دارند. علیرغم همبوشنی بین ترکیب این دو دسته از کانی‌های پلازیوکلاز، غالب ریز بلورهای پلازیوکلاز ترکیب کلسیم‌دارتری نشان می‌دهند (جدول ۲) که نشان می‌دهد پلازیوکلازهای حل شده احتمالاً در اعماق بیشتری از ماقما تبلور یافته‌اند و سپس در مراحل بعدی فوران ماقمایی در اثر تغییرات فشار و سایر عوامل انحلال، ساختار منطقه‌ای گرفته‌اند. چنانچه درشت بلورهای پلازیوکلاز پس از تشکیل در دمای بالاتر از دمای سیلان قرار بگیرند در این صورت حل شده و بافت‌های نامتعادل به ویژه بافت غربالی پیدا می‌کنند (که این حالت در سنگ‌های مناطق آتشفشاری فراوان رخ می‌دهد). این وضعیت در درشت بلورهای پلازیوکلاز سنگ‌های تفتان



شکل ۷ (الف) شکل‌گیری پوشش‌های غبارآلود پیرامون پلازیوکلازهای سنگ‌های داسیتی تفتان. ب) بافت انحلالی (غربالی) در درشت بلورهای پلازیوکلاز سنگ‌های آندزیتی تفتان.

ماگما طی رویداد اختلاط ماگمایی باشد. [۱۹، ۱۸] معتقدند که طی اختلاط ماگمایی، در اثر تفاوت دمای بین ماگمای اسیدی و بازی، بلور پلازیوکلاز دستخوش ضربه گرمایی شده و کرانه‌ها و بخش‌های درونی آن ذوب می‌شوند، بخش‌های ذوب شده به علت نداشتن زمان کافی برای تبلور، به صورت شیشه در آمده و سپس بخش‌های خورده شده با ماگما، کلسیم‌دار تر می‌شوند، و به این ترتیب بخش‌های خورده شده کرانه‌ها با رشد پلازیوکلاز کلسیم‌دار تر، پلازیوکلاز سدیم‌تر را می‌پوشاند.

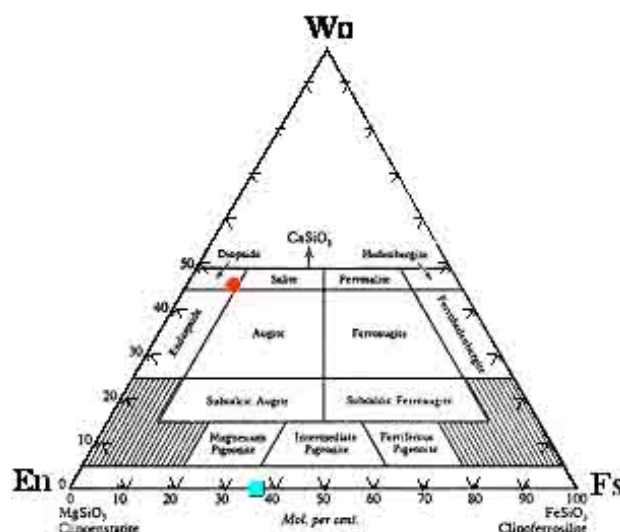
پیروکسن‌ها: نتایج ریزپردازش الکترونی پیروکسن‌های سنگ‌های آتشفسانی تفتان در جدول ۴ آورده شده‌اند. به منظور نامگذاری پیروکسن‌ها از نمودار ولاستونیت- انسستاتیت و فروسیلیت استفاده شد [۲۰]. بر این رده‌بندی (شکل ۸) کلیه پیروکسن‌های تجزیه شده در دو گروه ارتوپیروکسن‌ها معمولاً (هیپرسن) و کلینو پیروکسن‌ها (دیوپسید) قرار می‌گیرند.

آمفیبول‌ها: نتایج حاصل از تجزیه ریز پردازش الکترونی آمفیبول‌های موجود در سنگ‌های آتشفسانی تفتان در جدول ۳ آورده شده‌اند. به منظور نامگذاری آن‌ها از رده‌بندی [۲۱] استفاده شد. بنابر این رده‌بندی (شکل ۹)، کلیه آمفیبول‌های تجزیه شده سنگ‌های آتشفسانی تفتان در گستره مگنزیو-هورنبلنده قرار می‌گیرند.

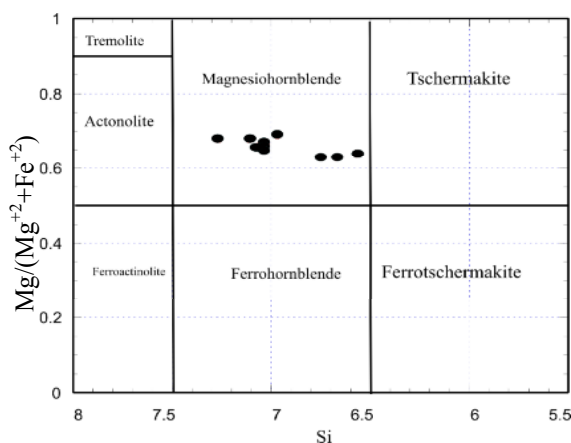
بیوتیت‌ها: ریز کاوش الکترونی بیوتیت‌های سنگ‌های آتشفسانی تفتان در جدول ۴ آورده شده است. به منظور نامگذاری بیوتیت‌ها از رده‌بندی [۲۲] استفاده شد. بنابر این رده‌بندی (شکل ۱۰)، کلیه میکاها از نوع بیوتیت هستند.

### اختلاط ماگمایی

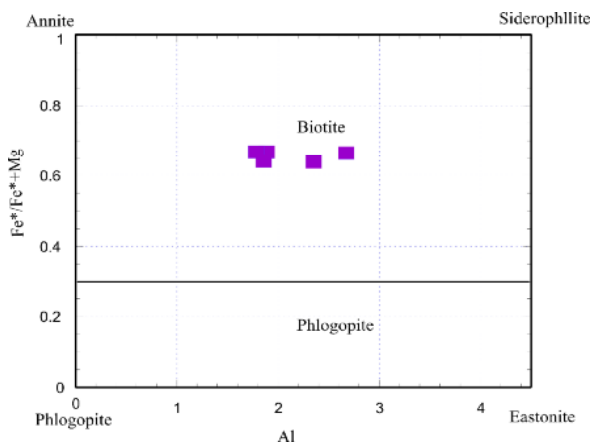
به اعتقاد [۱۹] منطقه‌بندی نوسانی و سپس منطقه‌بندی معمولی در بلورهای پلازیوکلاز می‌تواند در اثر تغییر ترکیب ماگما در مراحل مختلف رشد بلور حاصل شود، به عبارتی در نتیجه رشد پلازیوکلاز بعدی روی بلور پلازیوکلاز، در ماگمای در حال تغییر شیمیایی، منطقه‌بندی نوسانی شکل می‌گیرد، زیرا در این شرایط، بلور به بخش‌هایی که دارای ترکیب کلسیم-دارتری هستند منتقل شده و در نتیجه پلازیوکلاز کلسیم‌دارتر روی بلور قبلی رشد می‌کند. از طرفی چون ماگما به علت اختلاط ماگمایی در حال تغییر ترکیب شیمیایی است بنابراین بلور پلازیوکلاز وقتی به بخش‌های سدیم‌دار تر ماگما می‌رسد پلازیوکلاز سدیم‌دار روی آن رشد می‌کند. این چرخه چندین بار تکرار می‌شود و در نتیجه بلور پلازیوکلاز با منطقه‌بندی نوسانی شکل می‌گیرد، و سپس زمانی که ماگما به تعادل شیمیایی و دینامیکی رسید این روند تبلور به گونه‌ای پیش می‌رود که ترکیب ماگما سدیم‌دارتر می‌شود و پلازیوکلاز سدیم‌دار تر قبلی را پوشش می‌دهد و در نتیجه هسته بلور پلازیوکلاز با منطقه‌بندی نوسانی با حاشیه‌ای با منطقه‌بندی معمولی تشکیل می‌شود. در شکل ۶ تغییرات آلبیت و آنورتیت در یک نمونه پلازیوکلاز نمونه TSM-139 از مرکز ( نقطه ۱ ) تا کرانه ( نقطه ۵ ) نشان داده شده است. چنانکه مشاهده می‌شود از نقطه ۳ تا نقطه ۵ در صد آلبیت افزایش، ولی در صد آنورتیت کاهش می‌یابد و یک منطقه‌بندی معمولی را به نمایش می-گذارد که می‌تواند نشان دهنده تعادل شیمیایی و دینامیکی



شکل ۸ ترکیب شیمیایی پیروکسن‌های موجود در سنگ‌های آتشفسانی تفتان [۲۰].



شکل ۹ ترکیب شیمیایی آمفیبول‌های موجود در سنگ‌های آتشفسانی تفتان در رده‌بندی [۲۱].

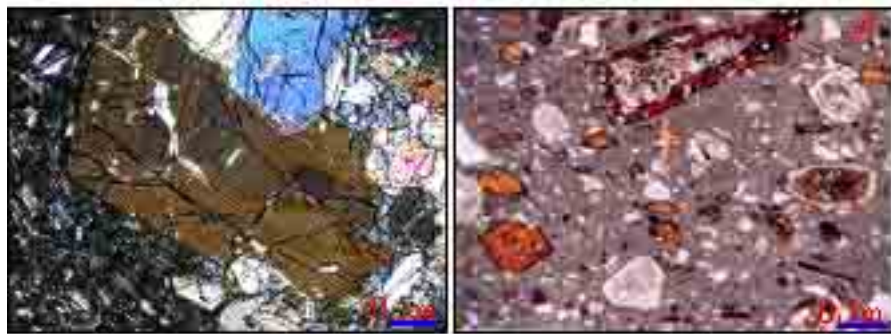


شکل ۱۰ ترکیب شیمیایی بیوتیت‌های موجود در سنگ‌های آتشفسانی تفتان در رده‌بندی [۲۲].

عمومی جدایش بلوری است. شواهدی چون حل شدن کرانه بلورها، تشکیل اکسیدهای آهن در راستای رخ‌های پیروکسن، خرد و گرد شدن آن‌ها، موید کاهش فشار و تغییرات ناشی در محیط تشکیل این کانی‌هاست.

به طور کلی هر یک از حالت‌های اخیر در این کانی‌ها می‌تواند معلول عواملی چون تغییر ترکیب شیمیایی ماقما توام با تغییرات فشار و اختلاط ماقمایی باشد. پر واضح است که به دلیل جایگیری ماقمای آتشفسانی تفتان نزدیک به سطح زمین و متعاقباً خروج آن، زمینه را برای تغییر در روند تبلور، جابه‌جایی در منحنی‌های انجاماد و سیلان، انحلال و حتی اکسایش این کانی‌های فراهم کرده است. نرخ این تغییرات درجهات مختلفی را در سوختگی‌های این کانی‌ها ایجاد کرده است. پایین آمدن سریع فشار بخار آب در شرایط آتشفسانی باعث ناشفافی این کانی‌ها شده، به گونه‌ای که گاهی باعث پراکنده شدن آن‌ها، حتی پر شدن کل بلور با این ماده کدر شده است.

در غالب سنگ‌های آتشفسانی تفتان کانی‌های آبدار بیوتیت و هورنبلند حضور دارند. این دو کانی که معمولاً به صورت شکل دار تا نیمه شکل دار و به صورت درشت بلور با میانگین اندازه ۱ تا ۵ میلیمتر و به صورت میکرولیتی در خمیره حضور دارند، سوختگی و ناشفافی با شدت‌های متفاوت را نشان می‌دهند (شکل ۱۱ الف). که گاهی دارای هم رشدی با یکدیگرند. غالباً بیوتیت‌ها و هورنبلندها اولیه اند زیرا شواهدی چون عدم همراهی اکسایش در کرانه‌های خرد شده بیوتیت، حضور ماقنตیت در درشت بلورها (بویژه در کانی فلسيک چون پلازیوکلاز) و عدم حضور ماقنتیت به مقدار قابل توجهی در خمیره (بيانی از عدم شرایط اکسایش) در سنگ‌های آتشفسانی تفتان دیده می‌شود. پیروکسن‌ها علیرغم دارا بودن دمای بالای تشکیل، از فرایندهای نامتعادل محیط تشکیل متاثر شده‌اند که برخی سوخته، اکسیده، گرد و منطقه بندی شده‌اند (شکل ۱۱ ب). براساس تجزیه شیمیایی از مرکز و کرانه این پیروکسن، مرکز آن‌ها از منیزیم غنی‌تر است که این همان روند

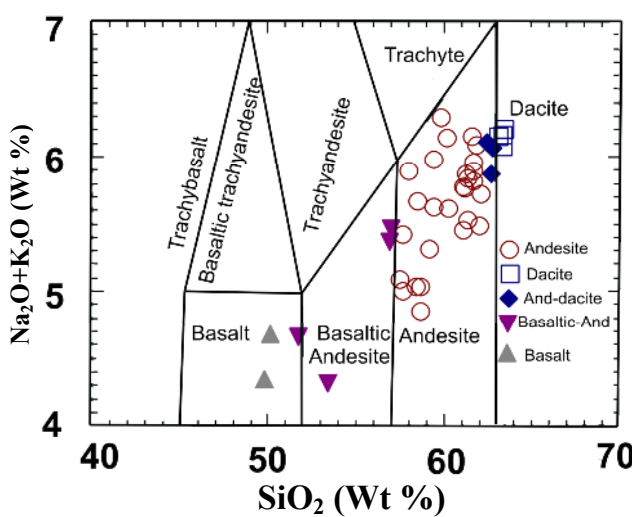


شکل ۱۱ الف) کدری [ناشفافی] متفاوت کانی‌های بیوپتیت و هورنبلند در سنگ‌های داسیتی تفتان. ب) بلورهای درشت پیروکسن با منطقه‌بندی آشکار و سوختگی در آندزی بازلتهای تفتان.

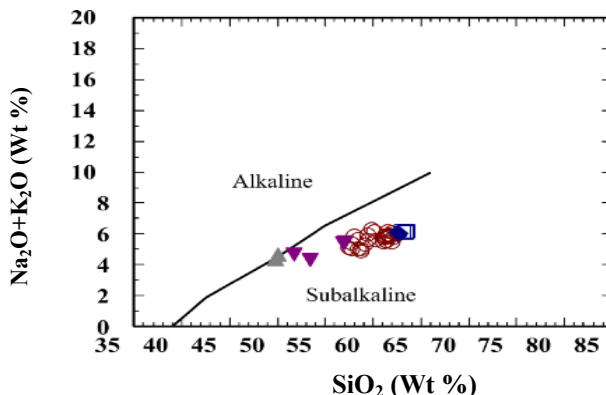
دمای پایین جدایش حاصل کرده‌اند. ضریب جدایش  $TiO_2$  آمفیبولوها بستگی به فشار دارد که در شرایط پوسته فوقانی، مقدار این ضریب بین ۵ تا ۱۰ در سنگ‌های آتشفسنی، و در سنگ‌های درونی بین ۱ تا ۵ [۲۵] است در سنگ‌های تفتان این نسبت بین ۲ تا ۴/۷ تغییر می‌کند که نشان می‌دهد تبلور در یک ماقمای در حال صعود و یا آشیانه ماقمایی نزدیک به سطح انجام شده است. نتایج حاصل از تجزیه شیمیی بلورهای بیوپتیت موجود در سنگ‌های تفتان نشان می‌دهد که آن‌ها با داشتن  $Al > Fe/(Fe+Mg) > 0.6$  در گستره بیوپتیت با اندکی تمایل به سمت قطب آنیت واقع می‌شوند، و معمولاً دارای پتاسیم نسبتاً بالا هستند (جدول ۴) که این امر نشان می‌دهد بیوپتیتها اغلب تازه‌اند. شیمی کانی‌های پیروکسن نشان می‌دهد که مرکز آن‌ها معمولاً نسبت به حاشیه از منیزیم غنی‌ترند (جدول ۴). این امر با روند عمومی جدایش بلورین سازگار است. شیمی نمونه‌های پلازیوکلاز نشان می‌دهد که آن‌ها اغلب دارای منطقه‌بندی معکوس، نرمال و نوسانی بوده است. منطقه‌بندی معکوس در بلورهای پلازیوکلاز نشان می‌دهد که تبلور شیمیایی آن‌ها به طور کامل پیش‌ترفته است و می‌توان گفت که در محیط نامتعادل شکل گرفته‌اند. این تغییرات در کانی‌های موجود در سنگ‌های آتشفسنی معمولاً ناشی از شرایط سردایش سریع تبلور است [۲۶]. به اعتقاد [۲۷] منطقه بندی نوسانی در پلازیوکلازها احتمالاً ناشی از تغییرات رشد، حل شدن و واکنش باشد که همه آن‌ها حاصل تغییرات ترکیب شیمیایی ماقماً، دمای و فشار است. چنین تغییراتی در ترکیب شیمیایی کانی‌های اصلی سازنده تفتان حاصل عواملی چون نوسان‌های فشار بخار آب، تغییر ترکیب شیمیایی ماقماً همراه با کاهش فشار، و در برخی موارد در نتیجه اختلاط ماقمایی حاصل شده است.

### موارد کاربرد شیمیی سنگ و کانی

تجزیه شیمیایی سنگ‌های کوه آتشفسنی تفتان در جدول ۱ نشان می‌دهد که مقدار اکسید سیلیسیم موجود در آن‌ها به طور متوسط در حد ۵۹/۷۷ است. همچنین نامگذاری سنگ‌ها براساس رده بندی ارائه شده توسط [۲۳] (مجموعه قلایی نسبت به اکسید سیلیسیم، TAS) صورت گرفته است (شکل ۱۲). معلوم شد که سنگ‌هایی با ترکیب آندزیتی و داسیتی فراوان‌ترین سازنده‌های این آتشفسنی باشند. این حجم فراوان از سنگ‌های اسیدی در یک آتشفسن احتمال واقع شدن آن را در یک منطقه فرورانشی حاشیه قاره نشان می‌دهد. از طرفی در نمودار سیلیسیس - قلایی شکل ۱۳ اغلب سنگ‌های این آتشفسن در گستره آهکی- قلایی قرار می‌گیرند [۲۴]. بررسی شیمی همه کانی‌های آمفیبول موجود در سنگ‌های آتشفسنی تفتان با داشتن  $Mg/(Mg+Fe) > 0.6$  در زیرگروه آمفیبول‌های منیزیو‌هورنبلند قرار می‌گیرند. در این گروه مقدار  $Al$  پایین و  $Mg$  نسبتاً بالا و  $SiO_2$  پایین است. متوسط  $Na_2O$  در این کانی‌ها بیشتر از  $K_2O$  است (جدول ۳). بنا بر اعتقاد [۲۵] از فاکتورهای  $MgO$ ,  $FeO$  و  $TiO_2$  در آمفیبول‌ها به عنوان ضریب جدایش می‌توان استفاده کرده. اگر فاکتور  $MgO$  در کانی‌های آمفیبول موجود در سنگ‌های آذرین بین ۲ تا ۱۰ درجه باشد جدایش آن‌ها از یک ماقمای با دمای بالای (۱۰۰۰ درجه سانتی گراد) صورت گرفته است، و اگر مقدار آن بالاتر از ۱۰ باشد جدایش در دماهای پایین (۸۰۰ درجه سانتی گراد) انجام شده است که این ضریب جدایش در هورنبلندهای تفتان بین ۸/۵ تا ۱۳/۴ است که نشان می‌دهد جدایش آن‌ها در شرایط دمایی پایین صورت گرفته است. چنانچه ضریب جدایش  $FeO$  مابین ۲ تا ۶ باشد جدایش در دمای پایین صورت گرفته است که در کانی‌های هورنبلند موجود در سنگ‌های تفتان این ضریب در حد ۳/۳ تا ۵/۳ است که باز هم نشان می‌دهد که آن‌ها در



شکل ۱۲ نامگذاری سنگ‌های آتشفشاری تفتان بر اساس نمودار  $\text{Na}_2\text{O} + \text{K}_2\text{O}$  در مقابل  $\text{SiO}_2$  [قتباس از ۲۳].



شکل ۱۳ موقعیت سنگ‌های آتشفشاری تفتان در نمودار  $\text{Na}_2\text{O} + \text{K}_2\text{O}$  نسبت به  $\text{SiO}_2$  [قتباس از ۲۴].

گستره هورنبلند منیزیم‌دار قرار می‌گیرند و میکای معمول نیز بیوپتیت است. این کانی‌ها شواهدی چون شدت‌های متفاوت سوختگی و ناشفافی توان با پراکندگی کانی در خمیره، نشر و پراکندگی اکسایش‌های آهن در موقعیت‌های مختلف بلوری، همرشدی، حل شدن و به ندرت منطقه‌بندی نشان می‌دهند که همه این موارد نشانی از نامتعادل بودن محیط تشکیل آن‌هاست. پیروکسن‌ها معمولاً "ارتو پیروکسن (هیپرسن) و کلینوپیروکسن (دیوپسید)" هستند و دارای شواهدی چون حل شدن در کرانه‌های بلورها، اکسایش و گردشدن است که در این کانی‌ها نیز متأثر از فرایندهای مشابه قبلی است.

#### مراجع

- [1] Glennie K. W., “Cretaceous tectonic evolution of Arabia eastern plate margin of two oceanic, in Middle East models of Jurassic/Cretaceous carbonates systems”, (2000) 414.

**برداشت**  
شواهد و بررسی‌های میکروسکوپی همراه با بررسی‌های انجام شده بر روی سنگ‌ها و کانی‌های انتخابی سنگ‌های آتشفشاری تفتان، نشان می‌دهند که ترکیب اغلب سنگ‌های آتشفشاری کوه تفتان آندزیتی و داسیتی و به مقدار کمتر آندزی بازالتی‌اند، غالب آن‌ها کانی شناختی ساده‌ای داشته و از کانی‌های پلازیوکلاز، بیوپتیت، هورنبلند و پیروکسن ساخته شده‌اند. در سنگ‌های بررسی شده تفتان (داسیت‌ها و آندزیت‌ها) پلازیوکلازها بیشتر از نوع آندزین هستند. به طور معمول منطقه‌بندی، ساختارهای حل شده و پوشش‌های غبارآلود دارند که معمولاً معلول شرایط تشکیل این کانی‌ها در شرایط کاملاً نامتعادل، همچون نوسان‌های ناشی از حضور مagmaهای همزمان، قرارگیری در شرایط نزدیک به سطح زمین، ناآرام بودن محیط تشکیل کانی‌ها، اکسایش و تغییرات ترکیب شیمیایی magmaهای است. آمفیبول‌ها از نظر ترکیب شیمیایی در

[2] Stocklin J., “*Structural history and tectonic of Iran*”, a review, American Association of



- [16] Kuo L. C., Kirkpatrick R. J., "Pre-eruptive history of phryic basalts from DSDP Legs 45-46: Evidences from morphology and Zoning patterns in plagioclase", *Contr. Mine. Petr.* 79 (1982) 13-27.
- [17] Tatsumi Y., "Melting experiments on a high magnesium andesite", *Earth. Planet. Sci. Lett.* 84 (1981) 357-65.
- [18] Shelly D., "Igneous and metamorphic rocks under the microscope", Champan and Hall. (1993).
- [19] Baxter S., Feely M., "Magma mixing and mingling textures in granitoids: examples from the Galway granite, Connemara, Ireland", *Mineralogy and Petrology* 79 (2002) 63-74.
- [20] Poldervaart A., Hess H.H., "Nomenclature of clinopyroxine in the system  $\text{CaMgSi}_2\text{O}_6$ - $\text{CaFeSi}_2\text{O}_6$ - $\text{Mg}_2\text{SiO}_6$ - $\text{Fe}_2\text{SiO}_6$ ", *J. Geol.* V, 59 (1951) 472-476.
- [21] Leak B. E., Woolley A. R., Birch W. C., Gilbert M. C., Grice J. D., Hawthorne F. C., Kato A., Kisch H. J., Krivovichev V. G., Linthout K., Laird J., Mandarino J., "Nomenclature of amphiboles", Report of the subcommittee on amphiboles of the International Mineralogical Association (1997) 295-321.
- [22] Speer J. A., "Mica in igneous rocks", In: Micas, Bailey S. W. (ed; Mineralogical Society of America Review in Mineralogy 13 (1984) 299-356.
- [23] Le Bas M. J., Le Maître R. W., Streckeisen Zanehin B., "A Chemical classification of volcanic rocks based on the Total alkali-silica content", *J. Petrol.* 27 (1986) 745-750.
- [24] Irvine N., Bargar W. R. A., "A guide to chemical classification of the common volcanic rocks", *Canadian Journal of Earth Science.* (1971) 8 523-548.
- [25] Cawthorn A. G., "Some chemical controls on igneous amphibole compositions", *Geochemical et Cosmochimica Acta* 49 (1979) 1319-1328.
- [26] Embrey-Iszttin A., Dowens h., James D.E., Upton B.G. J., Dobosi G., Ingram G. A., Harmon R. S., Scharbert H. G., "The petrogenesis of Pliocene alkaline volcanic rocks from the Pannonian Basin, eastern Central Europe", *Journal of Petrology* 34 (1993) 317-343.
- [27] Pearce T. H., Kolisnik A. M., "Observation of plagioclase zoning using interference imaging", *Earth Science Reviews* 29 (1990) 9-26.
- [۲۸] مهرپرتو م. و پادیر ف.، "شرح نقشه زمین‌شناسی ۱/۱ تفتان"، سازمان زمین‌شناسی و اکتشافاتمعدنی کشور (۱۳۸۲).
- Petroloum Geologists Bulletin. 52 (1968) 1229-1258.
- [3] Berberian F., Berberian M., "Late Cretaceous and early Miocene plutonic activity in northeast Makran and central Iran", *J. Geol. Soci. London.* 39 (1982) 605-614.
- [4] Michard A., Goffe B., Saddiqui O., Oberhansh R., Wendt A. S., "Late Cretaceous exhumation of the Oman Blueschist and Eclogite", A two stages extensional Mechanism. *Terra Nova* 6 (1994) 404-413.
- [5] Ravaut P., A. L., Yahyaey A., Bayer R., Lesquer A., "Repose isostatique en Oman", *C. R. Acad. Sci. Paris.* 317 (1999) 463-470.
- [6] McNutt M. K., Diament M., Kogan M. G., "Variations of elastic plate thickness at continental crust", *J. Geophys. Res.* 93 (1988) 8825-883.
- [7] Glennie K. W., Boeuf M. G. A., Hugues Clark M. W. M., Dystuart M., Pilaar W. F. H., Reinhardt B. M., "Late Cretaceous nappe in Oman mountains and their geologic education", *Bull. Am. Ass. Pet. Geol.* 57 (1973) 5-27.
- [8] Nicolas A., "Structural of Ophiolites and dynamic of Oceanic lithosphere petrology and structural Geology", 4. Kluwer. Dordrecht. (1988) 367.
- [9] Ganssar A., "Catalogue of the active Volcanoes and solfatara fields of Iran", Intern. Assoc. Volcanology. Catalogoue of the Active Volcanoes of the World, Pt.17- Appendix, P.7-20. (1966).
- [۱۰] معین وزیری ح.، "دیباچه‌ای بر ماقم‌تیسم در ایران"، انتشارات دانشگاه تربیت معلم، صفحه ۴۰، (۱۳۷۵)
- [۱۱] معین وزیری ح. و سبحانی ا.، "آتشفشنان تفتان"، انتشارات دانشگاه تربیت معلم، صفحه ۳۰، (۱۳۵۷)
- [۱۲] بومری م، بیابان‌گرد ح.، خطیب م.، گرگیج م.، "ژئوشیمی پتروگرافی و نحوه تشکیل آتشفشنان تفتان، جنوب شرقی ایران"، طرح بین دانشگاه سیستان و بلوچستان و دانشگاه پیر جند، صفحه ۱۱۸، (۱۳۸۲)
- [13] Nelson S. T., Montana A., "Sieve textured plagioclase in volcanic rocks produced by rapid decompression", *American Mineralogist* 77 (1992) 1242-1249.
- [14] Nelson S. T., Montana A., "Plagioclase vesoplosion textures as a consequence of the rapid isothermal decompression of magmas". VCEL abstracts, New Mexico Bureau of Mines and Mineral Resources. Bull. (1989) 202.
- [15] Dungan M.D., Rhoders J.M., "Residual glasses and melt inclusions in basalts from DSDP Legs 45 and 46: Evidence for magma mixing", *Contr. Min. Pet.* 67 (1979) 417-431.